



یک روش معکوس برای تعیین خواص قابهای برشی دو بعدی و سه بعدی

کاظم چوبانی، فارغ التحصیل کارشناسی ارشد مهندسی عمران - زلزله / ناصر خاجی، استادیار بخش مهندسی عمران،

دانشکده فنی و مهندسی، دانشگاه تربیت مدرس

۲- مقدمه

۱- چکیده

خواص دینامیکی سازه‌ها همچون پریود طبیعی ارتعاش، شکل مدهای ارتعاشی و میزان میرایی، از جمله مهمترین عوامل تعیین کننده عکس العمل سازه‌ها در مقابل زمین‌لرزه می‌باشند. مدل‌های ریاضی که برای تعیین پارامترهای مذکور مورد استفاده قرار می‌گیرند، اغلب دارای فرضیات ساده‌کننده بود و اثرهای اجزای غیرسازه‌ای را در نظر ننمی‌گیرند. به بیان دیگر، خصوصیات دینامیکی سازه‌ها به بسیاری از جزئیات رفتار مصالح و ترکیب کلی سازه بستگی دارد که تمام این جزئیات را نمی‌توان در مدل‌های ریاضی دخالت داد؛ بنابراین همواره بین مدل‌های تحلیلی و سازه واقعی اختلافاتی وجود دارد و تنها با تعیین مستقیم این خصوصیات دینامیکی به وسیله آزمایش بر روی ساختمان واقعی و مقایسه با نتایج تحلیلی است که می‌توان به میزان دقیق نتایج تحلیلی پی برد و در مورد قابل قبول بودن آنها قضاوت نمود [به عنوان مثال، مرجع ۱]. علاوه بر آن، میزان میرایی در سازه‌های نوع مصالح مصرفی و روش‌های ساخت بستگی دارد و فقط به وسیله آزمایش قابل اندازه‌گیری می‌باشد؛ بنابراین آزمایش‌های لرزه‌ای بر روی سازه‌ها از مطمئن‌ترین روش‌ها برای تعیین خواص دینامیکی آنهاست. اگرچه این آزمایش‌ها در سال‌های اخیر در کشورهای پیشرفته به عنوان روشی قابل قبول

عکس العمل سازه‌ها در مقابل بارگذاری دینامیکی به خواص دینامیکی آنها بستگی دارد. در این تحقیق، برای برآورد خواص مزبور (که در عمل امکان اندازه‌گیری مستقیم آنها وجود ندارد) از روشی معکوس استفاده شده است. این روش که خواص دینامیکی را از طریق کمیتهای دیگر (که در عمل قابل اندازه‌گیری هستند) محاسبه می‌کند، برمبنای معکوس کردن مدل ریاضی بیانگر رفتار فیزیکی سیستم استوار است. همانند سایر مسائل معکوس رایج، تکین شدن ماتریس مشخصه، مشکل اساسی است. روش تفکیک مقادیر تکین برای تشخیص بدینمی مدل ریاضی معکوس به کار می‌رود. برای بیان توانمندیهای این متدولوژی، قابهای برشی دو و سه بعدی مورد بررسی قرار گرفته‌اند. برای آنکه مقادیر مورد نظر برای پاسخ سازه به واقعیت نزدیک باشند، با استفاده از مفاهیم اصلی تئوری دینامیک سازه‌ها، پاسخ سیستم حاصل شده و برای محاسبه خواص دینامیکی سیستم، مورد استفاده قرار گرفته است. نتایج حاصل از این متدولوژی، مبین توانایی آن برای محاسبه قابل قبول خواص دینامیکی قابهای مزبور است.

کلیدواژه‌ها: شناسایی سیستم‌ها، مسائل معکوس، روش تفکیک مقادیر تکین

خروجی آن سیستم تعیین کند. در مسائل شناسایی سیستم‌ها، می‌توان مسئله معکوس را به صورت پارامتری تشریح کرد.
معادله اپراتوری (۱) را در نظر بگیرید:

$$\mathbf{AX} = \mathbf{R} \quad (1)$$

در رابطه (۱)، ماتریس \mathbf{A} مبین مشخصات سیستم، بردار \mathbf{X} پارامترهای عملکننده روی سیستم و بردار \mathbf{R} پاسخ سیستم است. اگر \mathbf{A} و \mathbf{X} معلوم و \mathbf{R} نامعلوم باشند، این معادله یک معادله مستقیم خواهد بود. اگر \mathbf{A} و \mathbf{R} معلوم و \mathbf{X} نامعلوم باشند، مسئله معکوس نوع اول به دست خواهد آمد. اگر \mathbf{X} و \mathbf{R} معلوم و \mathbf{A} نامعلوم باشند، مسئله معکوس نوع دوم حاصل خواهد شد. حل مسئله معکوس از نوع دوم بسیار مشکلتر از نوع اول است؛ بویژه اگر کمیتهای اندازه‌گیری شده، خطای نسبتاً قابل ملاحظه‌ای داشته باشند. در مسئله معکوس نوع دوم معمولاً خواص ماده‌یا خواص سازه‌نامعلوم می‌باشند [۳]. یکی از مشکلات اصلی در حل مسائل معکوس، بدحالتی (Ill-Conditioned/Ill-Posed) ماتریس مشخصه‌آنهاست. روش‌های ریاضی متعددی برای تشخیص و ترمیم این بدحالتی پیشنهاد شده است [۴، ۵ و ۶] که درین آنها روش تفکیک مقادیر تکین به عنوان یکی از توانمندترین و کارآمدترین روشها [۷] مورد بررسی قرار گرفته است.

۴ - روش تفکیک مقادیر تکین

روش تفکیک مقادیر تکین (روش تمت) با تجزیه یک ماتریس به دو ماتریس متعامد و یک ماتریس قطری، برای تشخیص بدحالتی مورد استفاده قرار می‌گیرد. استفاده از روش تمت در تعیین بدحالتی یک مسئله، از روش‌های دیگر معمول‌تر است [۷]. با توجه به اینکه در روش تمت، ماتریس مورد نظر به دو ماتریس متعامد و یک ماتریس قطری تبدیل می‌شود، تشخیص ناقص بودن مرتبه (Rank) ماتریس به راحتی

برای شناخت خواص سازه‌ها، بسیار مورد استفاده قرار گرفته است، در ایران تاکنون فقط سابقه چند نمونه محدود از آنها در دسترس می‌باشد [۱]. موردنسبتاً کاملی از آزمایشهای انجام شده در ایران در مرجع [۲] آمده است.

برای برآورده بخشی کمیتهای فیزیکی که امکان اندازه‌گیری مستقیم آنها وجود ندارد، با بکارگیری روشی غیرمستقیم یا معکوس (Inverse) و از طریق کمیتهای دیگر قابل اندازه‌گیری، مقدار این کمیتهای فیزیکی محاسبه می‌شود. درواقع، روش معکوس، برپایه معکوس کردن مدل ریاضی بیان‌کننده رفتار فیزیکی آن سیستم استوار است. معمولاً این روش، حساسیت زیادی نسبت به داده‌ها و عدم قطعیت‌های مدل‌سازی دارد و با کمک روش‌های عددی قدرتمند، قابل اعتماد است. مسائل معکوس زیادی با اهمیت عملی و اجرایی زیاد در مهندسی به چشم می‌خورد و فعالیتهای تحقیقاتی در این زمینه، رشد قابل توجهی داشته است [۳].

در این تحقیق سعی بر آن بوده است که با استفاده از یک روش ریاضی توانمند و با داشتن پاسخ سیستم، مشخصات دینامیکی سیستم، از جمله ماتریس‌های سختی (\mathbf{K} ، میرایی (\mathbf{C}) و جرم (\mathbf{M}) تعیین شوند. روش ریاضی مورد استفاده در این تحقیق، روشی به نام تفکیک مقادیر تکین (Singular Value Decomposition) است. این روش در حل دستگاه‌های خطی و تئوری ماتریس‌های کاربرد وسیعی دارد و در دهه هشتاد میلادی توسط ریاضیدانان مطرح گردیده و از نظر ریاضی اثبات شده که روشی همگرا، پایدار و سازگار است.

۳ - تعریف مسئله معکوس

تحلیل معکوس معمولاً به روشی اطلاق می‌شود که می‌تواند پارامترهای کنترل کننده یک سیستم را از تحلیل رفتار

فریسول و همکارانش [۱۳] سیستم‌های چند درجه آزادی را در نظر گرفته و بافرض بدون خطابودن ماتریس جرم، روشی برای بروزکردن ماتریس‌های سختی و میرایی ارائه داده‌اند. برای بروزکردن ماتریس‌های مزبور، از نتایج آزمایش‌های سازه، شکل و پریود مدها را استخراج کرده‌اند و سپس الگوریتم به روزکردن رابه کاربرده‌اند. در حین حل این مسئله با مشکل بدحالتی ماتریس مشخصه برخورد و برای حل آن، از روش تمت استفاده کرده‌اند.

شاو [۱۴] روش غیرتکراری کمترین مربعات خطاهای را که توسط یانگ و چن [۱۵] برای حل مسائل معکوس ارائه شده بود، مورد بررسی قرارداده و نشان داده است که این روش در حل این مسائل در حالتی که بدحالت نیستند، بدون استفاده از فرآیند تکراری، به جواب واحدی خواهد رسید. علاوه بر آن، نشان داده که روش یانگ و چن برای حالتی که مسئله بدحالت می‌شود پاسخ مناسبی به دست نمی‌دهد. شاو برای حل این مشکل پیشنهاد کرده است:

- تعداد اندازه گیریها افزایش یابد یا اندازه گیریها تا حد مکان در نزدیکی جایی انجام گیرد که پارامترهای سیستم نامشخص است؛

- از روش تمت استفاده شود.

رونگ و همکارانش [۷] برای تشخیص و رفع بدحالتی مسائل شناسایی سیستم‌ها، از روش اصلاح شده کمترین مربعات که بر پایه روش تمت بناشده است، استفاده کرده‌اند. از مشخصات مشترک این تحقیقات، تعیین فرکانس‌ها و شکل مدهای ارتعاشی به عنوان خواص دینامیکی سازه‌هاست. تعیین مشخصات میرایی سازه‌ها نیز کمتر مورد توجه واقع شده است.

حسن و ویولا [۱۶] ماتریس‌های جرم و سختی رابه صورت

امکان‌پذیر است؛ چرا که ماتریس قطری فقط در قطر خود درایه دارد و به راحتی مشاهده می‌شود که در کدام درایه قطر، مقدار درایه برابر صفر است. اگر بعضی از مقادیر درایه‌های قطری این ماتریس صفر باشند، ماتریس اصلی از مرتبه کامل نیست.

روش تمت در تعیین بهترین محلهای اندازه‌گیری در آزمایش‌های دینامیکی نیز به کار رفته است. این روش در تعیین اثرهای تکین‌بودن ماتریس مشخصه سیستم، در مسائل بهینه‌سازی نیز کاربرد دارد.

ساتاکه و یوکوتا [۸] خواص ارتعاشی ساختمانهای بلند مرتبه فولادی را از داده‌های آزمایش‌های ارتعاشی و نگاشتهای لرزه‌ای استخراج کرده‌اند. هدف اصلی آنها، تعیین پریودهای طبیعی ارتعاشی و ضرایب میرایی وابسته به پریود بوده است.

سوگاوارا و همکارانش [۹] مجموعه‌ای از آزمایش‌های ارتعاش اجباری را بر روی سازه‌هایی با مقیاس بزرگ، برای تعیین خواص دینامیکی سازه‌ها انجام داده‌اند. ایشان اثرهای اندرکنش خاک - سازه را نیز لحاظ کرده‌اند.

بیه و همکاران [۱۰] با استفاده از روش اجزای مرزی، روشی برای محاسبه مدها و فرکانس‌های طبیعی یک تیر خمی ارائه داده‌اند.

ناصر زارع و همکاران [۱۱] برای محاسبه مدها و فرکانس‌های طبیعی یک سد قوسی با استفاده از روش اجزای مرزی برای مدل کردن اثرهای هیدرودینامیکی مخزن، روشی ارائه کرده‌اند.

ضیائی راد [۱۲] بر روی الگوریتم‌های مختلف موجود در به روزکردن مدل‌های عددی در دینامیک سازه‌ها کار کرده و چندین روش برای به روزکردن مدل‌های عددی در دینامیک سازه‌ها ارائه داده است.

$$\Sigma = \begin{bmatrix} \sigma_1 & 0 & \dots & 0 & 0 \\ 0 & \sigma_2 & \dots & 0 & 0 \\ \vdots & & \ddots & 0 & 0 \\ 0 & 0 & 0 & \sigma_r & 0 \\ 0 & 0 & 0 & 0 & 0 \end{bmatrix} \quad (3)$$

در رابطه (۳)، $\sigma_1 \geq \sigma_2 \geq \dots \geq \sigma_r \geq 0$ است و $\sigma_1^2, \sigma_2^2, \dots, \sigma_r^2$ مقادیر ویژه غیر صفر ماتریس های $A^T A$ و $A A^T$ هستند. از رابطه (۲) می توان شبه معکوس (Pseudo-Inverse) ماتریس A را با رابطه (۴) محاسبه نمود:

$$A^+ = V \Sigma^+ U^T \quad (4)$$

در رابطه (۴)، A^+ شبیه معکوس A است. شبیه معکوس یک ماتریس مربعی، همان معکوس آن است. در یک ماتریس مستطیلی، شبیه معکوس آن برای به دست آوردن بهترین جواب ممکن در دستگاه معادلات متنااظر با آن ماتریس به کار می رود [۴]. ماتریس Σ^+ در رابطه (۴) به صورت رابطه (۵) تعریف می شود:

$$\Sigma^+ = \begin{bmatrix} \sigma_1^{-1} & 0 & \dots & 0 \\ 0 & \ddots & & 0 \\ \vdots & & \sigma_r^{-1} & 0 \\ 0 & 0 & & 0 \end{bmatrix} \in \mathbb{R}^{n \times m} \quad (5)$$

با توجه به مطالب مذکور، توانایی یک دستگاه معادلات خطی برای به دست آوردن پاسخ درست را می توان با کمیتی به نام عدد حالت (Condition Number) مشخص نمود که به صورت رابطه (۶) تعریف می شود:

$$C_N(A) = \frac{\sigma_1}{\sigma_r} \quad (6)$$

هر چه عدد حالت بزرگتر باشد، نشانه وضعیت نامطلوبتر ماتریس A از نظر بدحالتی است.

برای تعیین ماتریس های مشخصه قابهای برشی با استفاده از این روش، درابتدا قابهای برشی دو بعدی مورد بررسی قرار گرفته اند.

صریح ارائه نموده اند که جزء تحقیقات محدود انجام شده در این زمینه هستند. ایشان قابهای برشی دو بعدی بدون میرایی و با میرایی را تحت بررسی قرار داده اند. این محققین در تعیین همزمان ماتریس های سختی و جرم برای قابهای برشی دو بعدی بدون میرایی چندان موفق نبوده اند؛ بنابراین فرض کردند که یکی از این دو ماتریس از قبل مشخص می باشد و آنگاه ماتریس دوم را محاسبه نموده اند. برای قابهای برشی دو بعدی با میرایی نیز روشی برای تعیین ماتریس میرایی ارائه نشده است.

در تحقیق حاضر، قابهای برشی دو و سه بعدی بدون میرایی و با میرایی مورد بررسی قرار گرفته اند. علاوه بر آن، روشی برای تعیین ماتریس سختی قابهای برشی مزبور تحت بارگذاری استاتیکی ارائه شده است. برای قابهای برشی بدون میرایی، روشی برای تعیین ماتریس جرم بیان شده است. برای قابهای برشی با میرایی، ماتریس های جرم و میرایی به صورت همزمان تعیین شده اند.

۴-۱- بورسی اجمالی تئوری روش ثمت [۴، ۵ و ۶]

فرض می شود که ماتریس A (از مرتبه r) متعلق به فضای ماتریسی R باشد ($A \in \mathbb{R}^{n \times m}$). می توان نشان داد ماتریس های U ، Σ و V وجود دارند که هر یک به فضای ماتریسی خاصی تعلق دارند ($U \in \mathbb{R}^{m \times n}$ ، $\Sigma \in \mathbb{R}^{n \times m}$ و $V \in \mathbb{R}^{m \times n}$) و در رابطه (۲) صدق می کنند:

$$A = U \Sigma V^T \quad (2)$$

در این رابطه، U و V ماتریس های متعامد می باشند که به ترتیب شامل بردارهای ویژه ماتریس های $A^T A$ و $A A^T$ هستند. بالا نویس T بیانگر ترانهاده یک ماتریس است. ماتریس Σ نیز به صورت رابطه (۳) بیان می شود:

در این قاب، جرم طبقات یکسان و برابر ده کیلوگرم ($m=10\text{kg}$)، سختی برشی طبقات نیز یکسان و برابر 10 کیلو نیوتون بر متر و $c=\sqrt{1000} \text{ kg.rad/s}$ میرایی متناظر طبقات نیز یکسان و برابر است. برای این قاب، یک نیروی جانبی استاتیکی (p_3) برابر باشد. برای این قاب، یک نیروی جانبی استاتیکی (p_3) برابر 100 نیوتون در نظر گرفته شده است (در سراسر این مقاله از سیستم واحد SI استفاده شده است)؛ بنابراین:

$$\mathbf{K} = 10^4 \begin{bmatrix} 2 & -1 & 0 \\ -1 & 2 & -1 \\ 0 & -1 & 1 \end{bmatrix}$$

$$\mathbf{P} = \begin{bmatrix} 0 \\ 0 \\ 100 \end{bmatrix} \Rightarrow \mathbf{U} = \mathbf{K}^{-1} \mathbf{P} = \begin{bmatrix} 0.01 \\ 0.02 \\ 0.03 \end{bmatrix}$$

فرض می شود که بردارهای نیرو و تغییر مکان مذکور در قاب برشی مشخص و ماتریس سختی نامشخص است. برای تعیین ماتریس سختی این قاب با انجام یک سری عملیات جبری، معادله تعادل قاب موردنظر به صورت (۸) فرمولبندی شده است:

$$\mathbf{U}\mathbf{K} = \mathbf{P} \Rightarrow \mathbf{K} = \mathbf{U}^{-1} \mathbf{P} \quad (8)$$

در این رابطه، \mathbf{U} ماتریس تغییر مکان قاب، \mathbf{K} بردار سختی قاب و \mathbf{P} بردار نیروی استاتیکی وارد بر قاب هستند که دارای درایه های زیر می باشند:

$$\mathbf{U} = \begin{bmatrix} u_1 & -(u_2 - u_1) & 0 & \dots & 0 \\ 0 & (u_2 - u_1) & -(u_3 - u_2) & & 0 \\ 0 & 0 & \ddots & \ddots & 0 \\ \vdots & & & & \\ 0 & 0 & \dots & 0 & (u_n - u_{n-1}) \end{bmatrix}$$

$$\mathbf{K} = \begin{bmatrix} k_1 \\ \vdots \\ k_n \end{bmatrix} \quad \mathbf{P} = \begin{bmatrix} p_1 \\ \vdots \\ p_n \end{bmatrix}$$

با حل رابطه (۸)، سختی طبقات قاب برشی موردنظر و با مشخص شدن سختی طبقات، ماتریس سختی به دست می آید. برای قاب برشی سه درجه آزادی شکل (۱)، که تغییر مکان \mathbf{U} و بارگذاری

۵- قابهای برشی دو بعدی تحت بارگذاری استاتیکی

معادله تعادل قاب برشی دو بعدی با درجه آزادی، تحت بارگذاری استاتیکی، به صورت رابطه (۷) است:

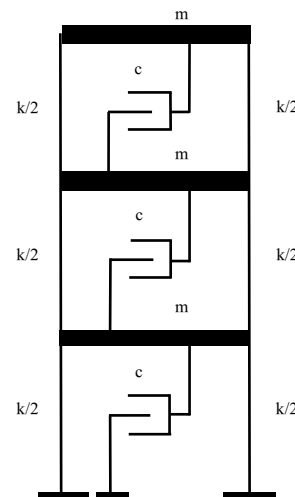
$$\mathbf{KU} = \mathbf{P} \Rightarrow \mathbf{U} = \mathbf{K}^{-1} \mathbf{P} \quad (7)$$

در این رابطه، (\mathbf{K}) ماتریس سختی قاب، \mathbf{U} بردار تغییر مکان قاب و \mathbf{P} بردار نیروی استاتیکی وارد بر قاب هستند که دارای درایه های زیر می باشند:

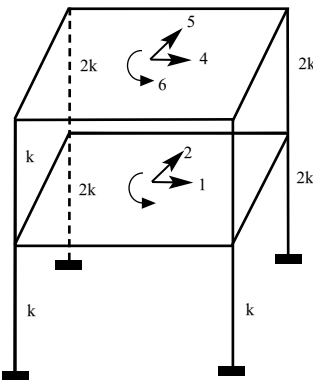
$$\mathbf{K} = \begin{bmatrix} k_1 + k_2 & -k_2 & 0 & \dots & 0 \\ -k_2 & k_2 + k_3 & -k_3 & & 0 \\ 0 & -k_3 & \ddots & \ddots & 0 \\ \vdots & & \ddots & \ddots & -k_n \\ 0 & 0 & 0 & -k_n & k_n \end{bmatrix}$$

$$\mathbf{U} = \begin{bmatrix} u_1 \\ \vdots \\ u_n \end{bmatrix} \quad \mathbf{P} = \begin{bmatrix} p_1 \\ \vdots \\ p_n \end{bmatrix}$$

با توجه به رابطه (۷) بدیهی است که با مشخص بودن بردار نیرو و ماتریس سختی قاب، بردار تغییر مکان قاب به راحتی تعیین می گردد. در بررسیهای مفصل صورت گرفته در مرجع [۱۷]، قابهای برشی دو بعدی یک، دو، سه، پنج و هشت طبقه در نظر گرفته شده است. به عنوان نمونه، نتایج مربوط به قاب سه درجه آزادی (سه طبقه) در شکل (۱) نشان داده شده است. فرض می شود که



شکل (۱): قاب برشی دو بعدی با سه درجه آزادی



شکل (۲): مشخصات قاب برشی سه بعدی دو طبقه. پیکانهای روی هر طبقه بیانگر درجات آزادی انتقالی و دورانی مربوط به آن طبقه هستند. اثرهای میرایی در این شکل نشان داده نشده است.

ماتریس‌های این قاب همانند قابهای دو بعدی، از برهم‌نهی ماتریس طبقات آن به دست می‌آید؛ بنابراین ماتریس‌های مشخصه این قاب به صورت زیر محاسبه می‌شود.

فرض می‌شود که جرم طبقات دارای توزیع یکنواختی برابر باشد. محور مختصات نیز در مرکز جرم طبقه در نظر گرفته می‌شود و چون کف طبقه دارای تقارن می‌باشد، مرکز جرم در مرکز سطح قرار می‌گیرد. ابعاد کف طبقات برابر a در نظر گرفته شده است. از آنجاکه دستگاه مختصات در مرکز جرم در نظر گرفته شده است، ماتریس جرم، قطری خواهد بود:

$$M = m \begin{bmatrix} 1 & 0 & 0 & 0 & 0 & 0 \\ 0 & 1 & 0 & 0 & 0 & 0 \\ 0 & 0 & \frac{1}{6}a^2 & 0 & 0 & 0 \\ 0 & 0 & 0 & 1 & 0 & 0 \\ 0 & 0 & 0 & 0 & 1 & 0 \\ 0 & 0 & 0 & 0 & 0 & \frac{1}{6}a^2 \end{bmatrix}$$

در این ماتریس، m کل طبقه است. گشتاور اینرسی دورانی کف نسبت به محور مختصات (I_0) برابر است با:

$$I_0 = m \times (D^2 + \frac{1}{12}(a^2 + b^2))$$

$$a = b, D = 0 \Rightarrow I_0 = \frac{1}{6}m \times a^2$$

$$m = m_0 \times A, A = a^2$$

در روابط مذکور، A مساحت کف، a و b اضلاع کف و D فاصله

P آن در قسمت قبل تعیین شده است، داریم:

$$U = \begin{bmatrix} 0.01 & -0.01 & 0 \\ 0 & 0.01 & -0.01 \\ 0 & 0 & 0.01 \end{bmatrix} \quad P = \begin{bmatrix} 0 \\ 0 \\ 100 \end{bmatrix}$$

$$\Rightarrow K = U^{-1}P = \begin{bmatrix} 10000 \\ 10000 \\ 10000 \end{bmatrix}$$

$$\Rightarrow k_1 = k_2 = k_3 = 10000 = 10 \text{ KN/m}$$

با اعمال یک بارگذاری استاتیکی (معمولًاً در طبقه بام) و اندازه‌گیری تغییر مکان ایجاد شده در طبقات، به سهولت می‌توان ماتریس سختی یک قاب برشی دو بعدی را به دست آورد.

۶- قابهای برشی - پیچشی سه بعدی تحت بارگذاری استاتیکی

در سازه‌های واقعی، احتمال اینکه سازه کاملاً متقارن باشد بسیار کم است؛ بنابراین مدهای پیچشی در این سازه‌ها تحریک می‌گردند و پاسخ سازه را تحت تأثیر قرار می‌دهند. به هر اندازه که تقارن سازه کمتر و نامنظم‌تر باشد (چه از نظر مشخصات هندسی و چه از نظر بارگذاری)، اثر مدهای پیچشی بر روی پاسخ سازه بیشتر خواهد بود. در نتیجه، مدل کردن دو بعدی سازه‌ها خطای بیشتری در پاسخ آنها ایجاد خواهد نمود؛ بنابراین در این قسمت سعی شده است که مسئله برای حالت سه بعدی نیز فرمولبندی شده، حل گردد.

به عنوان نمونه، قاب شکل (۲) در نظر گرفته شده است که در آن، سختی دوستون قاب، دو برابر سختی دوستون دیگر آن است. همچنین فرض شده که کف طبقات به شکل مربع هستند. لازم به ذکر است که این مثال به عنوان نمونه مورد بررسی قرار گرفته و این مفروضات خللی به کلیت مسئله وارد نمی‌سازد.

مشابه مثال قبل، فرض می شود که بردارهای نیرو و تغییر مکان مزبور در قاب برشی - پیچشی سه بعدی مشخص هستند و ماتریس سختی نامشخص است. با توجه به اینکه سازه درجهت ۲ و ۵ متقارن است، مدهای پیچشی در این جهت تأثیری نخواهد داشت. به همین دلیل می توان سازه را در جهت مزبور به صورت دو بعدی مدل کرد که تحلیل این قاب در قسمت قبل ارائه گردیده است. از سوی دیگر، این سازه درجهت ۱ و ۴ نامتقارن است و مدهای پیچشی در این جهت مؤثر هستند و بدینهی است که نمی توان سازه را در این جهت به صورت دو بعدی مدل کرد. با توجه به توضیحات اخیر، معادله تعادل قاب مذکور شامل قسمتهای مربوط به بخش نامتقارن و بخش متقارن خواهد بود:

بخش نامتقارن:

$$\begin{bmatrix} k_{11} + k_{44} & k_{13} + k_{46} & -k_{44} & -k_{46} \\ k_{31} + k_{64} & k_{33} + k_{66} & -k_{64} & -k_{66} \\ -k_{44} & -k_{46} & k_{44} & k_{46} \\ -k_{64} & -k_{66} & k_{64} & k_{66} \end{bmatrix} \begin{bmatrix} u_1 \\ u_3 \\ u_4 \\ u_6 \end{bmatrix} = \begin{bmatrix} p_1 \\ p_3 \\ p_4 \\ p_6 \end{bmatrix}$$

بخش متقارن:

$$\begin{bmatrix} k_{22} + k_{55} & -k_{55} \\ -k_{55} & k_{55} \end{bmatrix} \begin{bmatrix} u_2 \\ u_5 \end{bmatrix} = \begin{bmatrix} p_2 \\ p_5 \end{bmatrix}$$

مسئله ای که در اینجا باید مورد بررسی قرار گیرد، حل قسمت اول (بخش نامتقارن) است. برای حل این معادله و پس از انجام یک رشته عملیات جبری، رابطه (۱۰) به دست آید:

$$\begin{bmatrix} u_1 & u_3 & 0 & -(u_4 - u_1) & -(u_6 - u_2) & 0 \\ 0 & u_1 & u_2 & 0 & -(u_4 - u_1) & -(u_6 - u_2) \\ 0 & 0 & 0 & u_4 - u_1 & u_6 - u_2 & 0 \\ 0 & 0 & 0 & 0 & u_4 - u_1 & u_6 - u_2 \end{bmatrix} \times \begin{bmatrix} k_{11} \\ k_{13} \\ k_{33} \\ k_{44} \\ k_{46} \\ k_{66} \end{bmatrix} = \begin{bmatrix} p_1 \\ p_3 \\ p_4 \\ p_6 \end{bmatrix} \quad (10)$$

مرکز سطح از محور مختصات می باشد. ماتریس سختی این قاب نیز به صورت زیر خواهد بود:

$$K = k \begin{bmatrix} 12 & 0 & -2a & 6 & 0 & -a \\ 0 & 12 & 0 & 0 & 6 & 0 \\ -2a & 0 & 6a^2 & -a & 0 & 3a^2 \\ 6 & 0 & -a & 6 & 0 & -a \\ 0 & 6 & 0 & 0 & 6 & 0 \\ -a & 0 & 3a^2 & -a & 0 & 3a^2 \end{bmatrix}$$

معادله تعادل استاتیکی این قاب به صورت رابطه (۱۲) می باشد:

$$KU = P \Rightarrow U = K^{-1}P \quad (9)$$

در این رابطه، K ماتریس سختی و U بردار تغییر مکان قاب و P بردار نیروهای خارجی می باشد.

برای این قاب k ، برابر 10^4 کیلو نیوتون بر متر و طول ضلع کف

(a) برابر 3 متر در نظر گرفته شده است. مشابه قاب دو بعدی قسمت قبل، برای بارگذاریهای مختلف برای توان بردار تغییر مکان (U) را محاسبه کرد. بعد از محاسبه بردارهای تغییر مکان قاب، آنها را ذخیره نموده تا برای تحلیل معکوس واستخراج ماتریس سختی این قاب، مورد استفاده قرار گیرند.

ماتریس سختی این قاب عبارت است از:

$$K = 10^4 \begin{bmatrix} 12 & 0 & -6 & -6 & 0 & 3 \\ 0 & 12 & 0 & 0 & -6 & 0 \\ -6 & 0 & 54 & 3 & 0 & -27 \\ -6 & 0 & 3 & 6 & 0 & -3 \\ 0 & -6 & 0 & 0 & 6 & 0 \\ 3 & 0 & -27 & -3 & 0 & 27 \end{bmatrix}$$

به عنوان نمونه برای بارگذاری، بردار تغییر مکان حاصل در درجات آزادی شش گانه این قاب، عبارت است از:

$$P = \begin{bmatrix} 0 \\ 0 \\ 0 \\ 1000 \\ 1000 \\ 2000 \end{bmatrix} \Rightarrow U = 10^{-2} \begin{bmatrix} 2.1569 \\ 1.6667 \\ 0.9804 \\ 4.3137 \\ 3.3333 \\ 1.9608 \end{bmatrix}$$

۷- بررسی قابهای برشی سه بعدی تحت بارگذاریهای دینامیکی

در تحقیقات مفصل صورت گرفته [۱۷]، قابهای برشی دو بعدی یک، دو، سه، پنج و هشت طبقه و قابهای برشی پیچشی سه بعدی یک و دو طبقه، تحت بارگذاریهای پله‌ای، هارمونیک و زلزله مورد بررسی قرار گرفته‌اند. بارگذاری پله‌ای و هارمونیک در بالاترین سقف اعمال گردیده است. در این مقاله برای نمونه، نتایج به دست آمده از قاب برشی دو بعدی سه طبقه شکل (۱) و قاب برشی-پیچشی سه بعدی دو طبقه شکل (۲) ارائه شده است. برای مشاهده همه نتایج می‌توان به مرجع [۱۷] مراجعه نمود. مشخصات فیزیکی این قابهای صورت زیر است.

۷-۱- قاب برشی دو بعدی سه طبقه

مشخصات قاب برشی دو بعدی سه طبقه عبارت است از:

$$\mathbf{M} = \begin{bmatrix} 10 & 0 & 0 \\ 0 & 10 & 0 \\ 0 & 0 & 10 \end{bmatrix}, \quad \mathbf{K} = 10^4 \begin{bmatrix} 2 & -1 & 0 \\ -1 & 2 & -1 \\ 0 & -1 & 1 \end{bmatrix}$$

$$\mathbf{C} = \sqrt{1000} \begin{bmatrix} 2 & -1 & 0 \\ -1 & 2 & -1 \\ 0 & -1 & 1 \end{bmatrix}, \quad \left\{ \begin{array}{l} \omega_1 = 14.0735 \\ \omega_2 = 39.433 \\ \omega_3 = 56.982 \end{array} \right.$$

$$\Phi = \begin{bmatrix} 1 & 1 & 1 \\ 1.802 & 0.445 & -1.247 \\ 2.247 & -0.802 & 0.555 \end{bmatrix}$$

$$\left\{ \begin{array}{l} M_1 = 92.962 \\ M_2 = 18.412 \\ M_3 = 28.629 \end{array} \right., \quad \left\{ \begin{array}{l} K_1 = 0.18412 \times 10^5 \\ K_2 = 0.28629 \times 10^5 \\ K_3 = 0.92959 \times 10^5 \end{array} \right.$$

$$\left\{ \begin{array}{l} C_1 = 58.2228 \\ C_2 = 90.5340 \\ C_3 = 293.9621 \end{array} \right.$$

در روابط فوق، ω_i ها بیانگر فرکانس مدهای ارتعاشی بر حسب رادیان بر ثانیه، Φ بیانگر شکل مدهای ارتعاشی، M_i ها، K_i ها

معادله مذکور ظاهر آن نظر ریاضی پاسخی ندارد؛ چراکه تعداد معلومات آن کمتر از تعداد مجهولات آن است. اگر تعداد معادلات خطی (M) کمتر از تعداد مجهولات (N) باشد، باید انتظار جواب واحدی را داشت. در این حالت، معمولاً یک خانواده $N-M$ بعدی از جوابها وجود خواهد داشت. اگر بخواهیم این فضای جواب کامل را بیابیم، روش تمت به سادگی این کار را انجام می‌دهد. این روش، $N-M$ مقدار تکین با مقادیر صفر (یا قابل اغماض) را نتیجه می‌دهد؛ چراکه $M < N$ است. در این حالت نیز، ستونهای V متناظر با مقادیر تکین صفر شده، بردارهای پایه هستند. ترکیب خطی این بردارهای پایه که به جواب ویژه افزوده شده است، فضای جواب را پوشش می‌دهد [۴].

مقادیر عددی رابطه (۱۰) برای این قاب برابر است با:

$$\mathbf{U} = \begin{bmatrix} 2.1569 & 0.9804 & 0 & 2.1569 & -0.9804 & 0 \\ 0 & 2.1569 & 0.9804 & 0 & -2.1569 & -0.9804 \\ 0 & 0 & 0 & 2.1569 & 0.9804 & 0 \\ 0 & 0 & 0 & 0 & 2.1569 & 0.9804 \\ 0 & 0 & 0 & 0 & 0 & 2.1569 \\ 1000 & & & & & 2000 \end{bmatrix}$$

با داشتن بردارهای فوق و با حل رابطه (۱۰) به کمک روش تمت،

نتایج زیر به دست آمده که نشان‌دهنده جوابهای مطلوب است:

$$\mathbf{K} = 10^4 \begin{bmatrix} 6 \\ -3 \\ 27 \\ 6 \\ -3 \\ 27 \end{bmatrix}$$

به بیان دیگر، نتایج حاصل از بارگذاری استاتیکی برای تعیین ماتریس سختی دارای دقت قابل قبولی است.

بحرانی هستند. سایر پارامترها نیز قبلاً تعریف شده‌اند. در دو بخش بعدی، دونمونه قاب برشی مذکور برای شرایط با و بدون میرایی بررسی شده است.

۸- قابهای برشی بدون میرایی تحت بارگذاری دینامیکی

دستگاه معادلات دیفرانسیل حرکت این قابها به صورت زیراست:

$$\mathbf{M} \ddot{\mathbf{u}}(t) + \mathbf{K} \mathbf{u}(t) = \mathbf{p}(t)$$

در رابطه فوق، بردارهای $\mathbf{p}(t)$, $\mathbf{u}(t)$ و $\ddot{\mathbf{u}}(t)$ دارای ابعاد $1 \times m$ (ماتریس ستونی که m سطر دارد) هستند. \mathbf{m} تعداد نقطه‌ی است

که در آنها نیروها، تغییر مکانها و شتابها ثابت شده‌اند. در این تحقیق اعداد مختلفی برای \mathbf{m} مورد بررسی قرار گرفته است که به عنوان نمونه نتایج مربوط به $m=1000$ در این مقاله ارائه شده است. معادله اخیر را می‌توان به صورت رابطه (11) نوشت:

$$\ddot{\mathbf{u}}^T(t)\mathbf{M} + \mathbf{u}^T(t)\mathbf{K} = \mathbf{p}^T(t) \quad (11)$$

در قسمتهای بعد، برای دو قاب دو بعدی و سه بعدی تحت بررسی، دو حالت مختلف فرض شده است:

در حالت اول فرض برآن است که در قاب برشی مورد نظر، هر دو ماتریس جرم و سختی قاب مجهول هستند؛ بنابراین رابطه (11) را می‌توان به فرم ماتریسی زیر تبدیل نمود:

$$\begin{bmatrix} \ddot{\mathbf{u}}^T(t) & \mathbf{u}^T(t) \end{bmatrix} \begin{bmatrix} \mathbf{M} \\ \mathbf{K} \end{bmatrix} = \mathbf{p}^T(t)$$

معادله اخیر را می‌توان به فرم ماتریسی زیر نوشت:

$$\mathbf{AX} = \mathbf{R} \Rightarrow \mathbf{X}^+ = \mathbf{A}^+ \mathbf{R} \quad (1-11)$$

که در آن:

$$\mathbf{A} = \begin{bmatrix} \ddot{\mathbf{u}}^T(t) & \mathbf{u}^T(t) \end{bmatrix}_{m \times 2n}$$

$$\mathbf{X} = \begin{bmatrix} \mathbf{M} \\ \mathbf{K} \end{bmatrix}_{2n \times n}, \quad \mathbf{R} = \begin{bmatrix} \mathbf{p}^T(t) \end{bmatrix}_{m \times n}$$

و \mathbf{C} ها به ترتیب بیانگر درایه‌های ماتریس‌های جرم، سختی و میرایی تعیین یافته نرمال هستند.

۲-۷- قاب برشی- پیچشی سه بعدی دو طبقه

با توجه به توضیحات قبل، مسئله‌ای که در اینجا مورد بررسی قرار گرفته، حل قسمت اول است. همچنین فرض می‌شود که قاب شکل (۲) دارای $0.5 \times 0.5 \times 1$ میرایی بحرانی برای مدهای انتقالی و $0.5 \times 0.5 \times 1$ میرایی بحرانی برای مدهای دورانی (پیچشی) است. پس خواهیم داشت:

$$\mathbf{M} = \begin{bmatrix} 100 & 0 & 0 & 0 \\ 0 & 150 & 0 & 0 \\ 0 & 0 & 100 & 0 \\ 0 & 0 & 0 & 150 \end{bmatrix}$$

$$\mathbf{K} = 10^4 \begin{bmatrix} 12 & -6 & -6 & 3 \\ -6 & 54 & 3 & -27 \\ -6 & 3 & 6 & -3 \\ 3 & -27 & -3 & 27 \end{bmatrix}$$

$$\mathbf{C} = \begin{bmatrix} 592.478 & -13.874 & -267.584 & -46.666 \\ -13.874 & 971.958 & -46.666 & -121.369 \\ -267.584 & -46.666 & 324.895 & -60.541 \\ -46.666 & -121.369 & -60.541 & 850.589 \end{bmatrix}$$

$$\begin{cases} \omega_1 = 14.5195 \\ \omega_2 = 26.5688 \\ \omega_3 = 38.0126 \\ \omega_4 = 69.5580 \end{cases}, \quad \begin{cases} \xi_1 = \xi_3 = 0.05 \\ \xi_2 = \xi_4 = 0.1 \end{cases}$$

$$\Phi = \begin{bmatrix} 1.0000 & 1.0000 & 1.0000 & 1.0000 \\ 0.1602 & -4.1602 & 0.1602 & -4.1602 \\ 1.6180 & 1.6180 & -0.6180 & -0.6180 \\ 0.2593 & -6.7314 & -0.0990 & 2.5712 \end{bmatrix}$$

$$\begin{cases} M_1 = 375.7396 \\ M_2 = 9754.7556 \\ M_3 = 143.5197 \\ M_4 = 3725.9851 \end{cases}, \quad \begin{cases} K_1 = 0.7921 \times 10^5 \\ K_2 = 68.8590 \times 10^5 \\ K_3 = 2.0738 \times 10^5 \\ K_4 = 180.2751 \times 10^5 \end{cases}$$

در این روابط، \mathbf{C} ها بیانگر مقدار میرایی بر حسب میرایی

$$(p(t) = \begin{bmatrix} 0 \\ 0 \\ 100 \end{bmatrix} \cdot \sin(25t))$$

ب) بارگذاری هارمونیک

$$C_N(A) = 4.9460 \times 10^9$$

$$M = \begin{bmatrix} 0 & 0 & -360.36 \\ 0 & 0 & 1006.6 \\ 0 & 0 & 10.022 \end{bmatrix}, K = \begin{bmatrix} 0 & 0 & -1.7272 \times 10^6 \\ 0 & 0 & 2.3635 \times 10^6 \\ 0 & 0 & -9.9656 \times 10^5 \end{bmatrix}$$

پ) بارگذاری زلزله (زلزله الستترو)

$$C_N(A) = 5.1671 \times 10^9$$

$$M = \begin{bmatrix} 0 & 0 & 0 \\ 0 & 0 & 0 \\ 0 & 0 & 0 \end{bmatrix}, K = \begin{bmatrix} 0 & 0 & 0 \\ 0 & 0 & 0 \\ 0 & 0 & 0 \end{bmatrix}$$

از نتایج حاصل کاملاً مشهود است که ماتریس های مجھول محاسبه شده، غیر واقعی هستند. اعداد حالت بزرگ به دست آمده نیز مؤید این نتیجه گیری است.

۲-۱-۸- قاب برشی - پیچشی سه بعدی دو طبقه

باتوجه به آنکه برای این قاب نیز نتایج، مشابه قاب دو بعدی است، از ارائه جزئیات آن صرف نظر شده است.

۲-۸- حالت دوم

۲-۱-۸- قاب برشی دو بعدی سه طبقه

در این حالت نیز قاب مورد نظر تحت بارگذاری های سه گانه

$$\text{قرار گرفته است: } (p(t) = \begin{bmatrix} 0 \\ 0 \\ 100 \end{bmatrix})$$

الف) بارگذاری پله ای

$$C_N(A) = 2.2126$$

$$M = \begin{bmatrix} 10.0003 & -0.0006 & 0.0003 \\ 0.0005 & 9.9989 & 0.0007 \\ 0.0003 & -0.0009 & 10.0005 \end{bmatrix}$$

$$(p(t) = \begin{bmatrix} 0 \\ 0 \\ 100 \end{bmatrix} \cdot \sin(25t))$$

ب) بارگذاری هارمونیک

$$C_N(A) = 7.0758$$

$$M = \begin{bmatrix} 10.0002 & -0.0006 & 0.0063 \\ -0.0001 & 9.9997 & -0.0094 \\ 0.0002 & -0.0007 & 10.0066 \end{bmatrix}$$

حال اگر در رابطه (۱۱)، ماتریس سختی از روش دیگری (مثل بارگذاری استاتیکی) مشخص شود، حالت دوم ایجاد می شود. در حالت دوم فرض برآن است که در قاب برشی مورد نظر، ماتریس جرم قاب مجھول است و ماتریس سختی قاب از پیش تعیین شده است؛ بنابراین رابطه (۱۱) را می توان به فرم

ماتریسی زیرنوشت:

$$AX = R \Rightarrow X^+ = A^+R \quad (2-11)$$

که در آن:

$$A = [\ddot{u}^T(t)]_{m \times n}, \quad X = [M]_{n \times n}$$

$$R = [p^T(t) \cdot p^T(t)K]_{m \times n}$$

در ادامه دو حالت مذبور بررسی شده است. برای هر حالت نیز دو قاب نمونه مورد بررسی قرار گرفته است. برای هر قاب نیز سه بارگذاری دینامیکی لحاظ شده است. بارگذاری های وارد در هر قسمت به صورت مختصراً معرفی شده اند. در هر یک از این بررسی ها، هدف اصلی، استخراج ماتریس های مجھول رابطه (۱۱) به کمک روش تمت است. به بیان دیگر، برای حالات دو گانه مورد بحث، لازم است که (۱-۱۱) و (۲-۱۱) حل گردد. بدین منظور، در هر حالت از حالات دو گانه مورد بحث، عدد حالت نیز محاسبه و مجھولات حاصل ارائه شده است.

۲-۱-۸- حالت اول

۲-۱-۸- قاب برشی دو بعدی سه طبقه

در این حالت، قاب مزبور تحت بارگذاری های پله ای، هارمونیک و زلزله قرار گرفته است:

$$(p(t) = \begin{bmatrix} 0 \\ 0 \\ 100 \end{bmatrix})$$

الف) بارگذاری پله ای

$$C_N(A) = 2.4743 \times 10^9$$

$$M = \begin{bmatrix} 0 & 0 & 4.5197 \\ 0 & 0 & 8.0304 \\ 0 & 0 & 9.9999 \end{bmatrix}, \quad K = \begin{bmatrix} 0 & 0 & 1009.2 \\ 0 & 0 & 1541 \\ 0 & 0 & 1969.6 \end{bmatrix}$$

پ) بارگذاری زلزله (زلزله ال سنترو)

$$\mathbf{M} \ddot{\mathbf{u}}(t) + \mathbf{C} \dot{\mathbf{u}}(t) + \mathbf{K} \mathbf{u}(t) = \mathbf{p}(t)$$

در معادله فوق، بردارهای $\dot{\mathbf{u}}(t), \mathbf{u}(t), \mathbf{p}(t)$ و $\ddot{\mathbf{u}}(t)$ دارای ابعاد $(m \times 1)$ ماتریس ستونی که سطر دارد هستند. m تعداد نقاطی است که در آنها نیروها، تغییر مکانها، سرعتها و شتابها ثابت شده‌اند. معادله فوق را می‌توان به صورت زیرنوشت:

$$\ddot{\mathbf{u}}^T(t)\mathbf{M} + \dot{\mathbf{u}}^T(t)\mathbf{C} + \mathbf{u}^T(t)\mathbf{K} = \mathbf{p}^T(t) \quad (12)$$

در قسمتهای بعد، برای دو قاب دو بعدی و سه بعدی تحت بررسی، مشابه قابهای برشی بدون میرایی، دو حالت مختلف فرض شده است.

در حالت اول فرض برآن است که در قاب برشی مورد نظر، هر سه ماتریس جرم، میرایی و سختی قاب مجھول هستند. بنابراین رابطه (12) را می‌توان به فرم ماتریسی زیر تبدیل نمود:

$$[\ddot{\mathbf{u}}^T(t) \quad \dot{\mathbf{u}}^T(t) \quad \mathbf{u}^T(t)] \begin{bmatrix} \mathbf{M} \\ \mathbf{C} \\ \mathbf{K} \end{bmatrix} = \mathbf{p}^T(t)$$

معادله اخیر را نیز می‌توان به فرم ماتریسی زیرنوشت:

$$\mathbf{AX} = \mathbf{R} \Rightarrow \mathbf{X}^+ = \mathbf{A}^+ \mathbf{R} \quad (1-12)$$

که در آن:

$$\mathbf{A} = [\ddot{\mathbf{u}}^T(t) \quad \dot{\mathbf{u}}^T(t) \quad \mathbf{u}^T(t)]_{m \times 3n}$$

$$\mathbf{X} = \begin{bmatrix} \mathbf{M} \\ \mathbf{C} \\ \mathbf{K} \end{bmatrix}_{3n \times n}, \quad \mathbf{R} = [\mathbf{p}^T(t)]_{m \times n}$$

حال اگر در رابطه (12)، ماتریس سختی از روش دیگری (مثل بارگذاری استاتیکی) مشخص شود، حالت دومی ایجاد می‌شود. در حالت دوم فرض برآن است که در قاب برشی مورد نظر، ماتریس جرم و میرایی قاب مجھول است و ماتریس سختی قاب از پیش تعیین شده است. پس رابطه (12) را می‌توان به فرم ماتریسی زیرنوشت:

$$\mathbf{AX} = \mathbf{R} \Rightarrow \mathbf{X}^+ = \mathbf{A}^+ \mathbf{R} \quad (2-12)$$

که در آن:

$$C_N(\mathbf{A}) = 11.7235$$

$$\mathbf{M} = \begin{bmatrix} 10.0004 & -0.0007 & 0.0003 \\ 0.0004 & 9.9991 & 0.0006 \\ 0.0004 & -0.0010 & 10.0005 \end{bmatrix}$$

۲-۲-۸- قاب برشی - پیچشی سه بعدی دوطبقه

$$(p(t) = \begin{bmatrix} 0 \\ 0 \\ 100 \\ 0 \end{bmatrix}) \text{ (الف) بارگذاری پله‌ای}$$

$$C_N(\mathbf{A}) = 9.7850$$

$$\mathbf{M} = \begin{bmatrix} 100.000 & 0.0000 & 0.0000 & 0.0000 \\ 0.0000 & 150.000 & 0.0000 & 0.0000 \\ 0.0000 & 0.0000 & 100.000 & 0.0000 \\ 0.0000 & 0.0000 & 0.0000 & 150.000 \end{bmatrix}$$

$$(p(t) = \begin{bmatrix} 0 \\ 0 \\ 100 \\ 0 \end{bmatrix} \cdot \sin(25t)) \text{ (ب) بارگذاری هارمونیک}$$

$$C_N(\mathbf{A}) = 506.7531$$

$$\mathbf{M} = \begin{bmatrix} 100.000 & 0.0000 & -0.1326 & 0.0000 \\ 0.0001 & 150.000 & 0.7052 & 0.0000 \\ 0.0000 & 0.0000 & 100.079 & 0.0000 \\ 0.0000 & 0.0000 & -0.4238 & 150.000 \end{bmatrix}$$

پ) بارگذاری زلزله (زلزله ال سنترو)

$$C_N(\mathbf{A}) = 52.7790$$

$$\mathbf{M} = \begin{bmatrix} 100.00 & -0.0000 & 0.0000 & 0.0000 \\ -0.0000 & 150.00 & -0.0000 & -0.0000 \\ -0.0000 & 0.0000 & 100.00 & -0.0000 \\ 0.0000 & -0.0000 & 0.0000 & 150.000 \end{bmatrix}$$

نتایج حاصل در این حالت مبین آن است که، ماتریس مجھول محاسبه شده، دارای دقت بسیار مناسبی است. اعداد حالت کوچک به دست آمده نیز مؤید این نتیجه گیری هستند.

۹- قابهای برشی با میرایی تحت بارگذاری دینامیکی

دستگاه معادلات دیفرانسیل حرکت این قابهای صورت

از نتایج حاصل کاملاً مشهود است که ماتریس های مجهول محاسبه شده، غیر واقعی هستند. اعداد حالت بزرگ به دست آمده نیز مؤید این نتیجه گیری هستند.

۲-۱-۹- قاب برشی-پیچشی سه بعدی دو طبقه

باتوجه به آنکه برای این قاب نیز نتایج، مشابه قاب دو بعدی است، از ارائه جزئیات آن صرف نظر شده است.

۲-۹- حالت اول

۱-۲-۹- قاب برشی دو بعدی سه طبقه

در این حالت، قاب برشی دو بعدی سه طبقه تحت بارگذاری های

پله ای، هارمونیک و زلزله قرار گرفته است:

$$(p(t) = \begin{bmatrix} 0 \\ 0 \\ 100 \end{bmatrix})$$

الف) بارگذاری پله ای

$$C_N(A) = 1.0854 \times 10^3$$

$$M = \begin{bmatrix} 10.0003 & -0.0007 & 0.0003 \\ 0.0007 & 9.9987 & 0.0008 \\ -0.0003 & -0.0001 & 10.0002 \end{bmatrix}$$

$$C = \begin{bmatrix} 63.2584 & -31.6402 & 0.0082 \\ -31.6496 & 63.2807 & -31.6392 \\ 0.0171 & -31.6449 & 31.6330 \end{bmatrix}$$

$$(p(t) = \begin{bmatrix} 0 \\ 0 \\ 100 \end{bmatrix}) \cdot \sin(25t)$$

ب) بارگذاری هارمونیک

$$C_N(A) = 3.5282 \times 10^3$$

$$M = \begin{bmatrix} 9.9998 & 0.0000 & 0.0174 \\ 0.0004 & 9.9990 & -0.0752 \\ -0.0003 & -0.0001 & 10.0113 \end{bmatrix}$$

$$C = \begin{bmatrix} 63.2672 & -31.6507 & -1.3331 \\ -31.6471 & 63.2767 & -29.6096 \\ 0.0124 & -31.6387 & 30.7196 \end{bmatrix}$$

پ) بارگذاری زلزله (زلزله ال سنترو)

$$C_N(A) = 6.2585 \times 10^3$$

$$M = \begin{bmatrix} 10.0004 & -0.0019 & 0.0010 \\ 0.0003 & 10.0004 & -0.0002 \\ 0.0004 & -0.0016 & 10.0009 \end{bmatrix}$$

$$C = \begin{bmatrix} 63.2464 & -31.6321 & 0.0056 \\ -31.6237 & 63.2514 & -31.6262 \\ 0.0004 & -31.6233 & 31.6230 \end{bmatrix}$$

$$A = [\ddot{u}^T(t) \quad \dot{u}^T(t)]_{m \times 2n}, \quad X = \begin{bmatrix} M \\ C \end{bmatrix}_{2n \times n}$$

$$R = [p^T(t) - u^T(t)K]_{m \times n}$$

در ادامه دو حالت مزبور بررسی شده است. در اینجا جزئیات کاملاً مشابه حالت قابهای برشی بدون میرایی است و برای اختصار، از ذکر دوباره آنها اجتناب شده است. در هر یک از این بررسی ها، هدف، استخراج ماتریس های مجهول رابطه (۱۲) به کمک روش تمت است.

۱-۹- حالت اول

۱-۱-۹- قاب برشی دو بعدی سه طبقه

در این بخش، قاب برشی دو بعدی سه طبقه تحت بارگذاری های پله-

ای، هارمونیک و ال سنترو و قرار گرفته و نتایج حاصل ارائه گردیده است:

$$(p(t) = \begin{bmatrix} 0 \\ 0 \\ 100 \end{bmatrix})$$

الف) بارگذاری پله ای

$$C_N(A) = 1.3899 \times 10^9, \quad M = \begin{bmatrix} 0 & 0 & 4.8111 \\ 0 & 0 & 8.1237 \\ 0 & 0 & 9.9999 \end{bmatrix}$$

$$C = \begin{bmatrix} 0 & 0 & 4.7395 \\ 0 & 0 & 4.5412 \\ 0 & 0 & 5.9335 \end{bmatrix}, \quad K = \begin{bmatrix} 0 & 0 & 1498.8 \\ 0 & 0 & 1436 \\ 0 & 0 & 1876.4 \end{bmatrix}$$

$$(p(t) = \begin{bmatrix} 0 \\ 0 \\ 100 \end{bmatrix}) \cdot \sin(25t)$$

ب) بارگذاری هارمونیک

$$C_N(A) = 6.7578 \times 10^9$$

$$M = \begin{bmatrix} 0 & 0 & 1950.1 \\ 0 & 0 & 848.54 \\ 0 & 0 & 9.9355 \end{bmatrix}, \quad C = \begin{bmatrix} 0 & 0 & 9647.1 \\ 0 & 0 & -827.67 \\ 0 & 0 & -2653.6 \end{bmatrix}$$

$$K = \begin{bmatrix} 0 & 0 & 3.0514 \times 10^6 \\ 0 & 0 & -2.6269 \times 10^5 \\ 0 & 0 & -8.3871 \times 10^5 \end{bmatrix}$$

پ) بارگذاری زلزله (زلزله ال سنترو)

$$C_N(A) = 3.1850 \times 10^9, \quad M = \begin{bmatrix} 0 & 0 & 0 \\ 0 & 0 & 0 \\ 0 & 0 & 0 \end{bmatrix}$$

$$C = \begin{bmatrix} 0 & 0 & 0 \\ 0 & 0 & 0 \\ 0 & 0 & 0 \end{bmatrix}, \quad K = \begin{bmatrix} 0 & 0 & 0 \\ 0 & 0 & 0 \\ 0 & 0 & 0 \end{bmatrix}$$

۲-۲-۹- قاب برشی - پیچشی سه بعدی دوطبقه

قاب برشی - پیچشی سه بعدی دوطبقه تحت بارگذاریهای پله‌ای، هارمونیک و زلزله قرار گرفته و نتایج حاصل ارائه گردیده است:

$$(p(t) = \begin{bmatrix} 0 \\ 0 \\ 100 \\ 0 \end{bmatrix})$$

$$C_N(A) = 7.9068 \times 10^3$$

$$\mathbf{M} = \begin{bmatrix} 99.9999 & 0.0000 & 0.0000 & 0.0000 \\ 0.0001 & 150.0000 & 0.0000 & 0.0000 \\ 0.0000 & 0.0000 & 100.0786 & 0.0000 \\ 0.0000 & -0.0003 & -0.0003 & 150.0001 \end{bmatrix}$$

$$\mathbf{C} = \begin{bmatrix} 592.477 & -13.871 & -267.583 & -46.669 \\ -13.850 & 971.942 & 46.681 & -121.357 \\ -267.582 & 46.669 & 324.894 & -60.540 \\ -46.686 & -121.358 & -60.531 & 850.582 \end{bmatrix}$$

$$(p(t) = \begin{bmatrix} 0 \\ 0 \\ 100 \\ 0 \end{bmatrix} \cdot \sin(25t))$$

$$C_N(A) = 2.6377 \times 10^4$$

$$\mathbf{M} = \begin{bmatrix} 100.0000 & 0.0000 & 0.5723 & 0.0000 \\ 0.0005 & 150.0001 & -1.9371 & 0.0001 \\ 0.0000 & 0.0000 & 99.9961 & 0.0000 \\ 0.0003 & -0.0001 & -0.0931 & 150.0001 \end{bmatrix}$$

$$\mathbf{C} = \begin{bmatrix} 592.474 & -13.871 & -286.588 & -46.669 \\ -13.834 & 971.938 & 62.256 & -121.358 \\ -267.581 & 46.669 & 334.576 & -60.540 \\ -46.692 & -121.356 & -116.866 & 850.582 \end{bmatrix}$$

(پ) بارگذاری زلزله (زلزله الستترو)

$$C_N(A) = 1.4032 \times 10^4$$

$$\mathbf{M} = \begin{bmatrix} 100.0000 & 0.0000 & 0.0001 & -0.0001 \\ 0.0001 & 149.9998 & -0.0002 & 0.0001 \\ 0.0000 & -0.0001 & 100.0000 & 0.0000 \\ -0.0001 & 0.0001 & 0.0000 & 150.0000 \end{bmatrix}$$

$$\mathbf{C} = \begin{bmatrix} 592.490 & -13.882 & -267.593 & -46.661 \\ -13.942 & 972.018 & 46.613 & -121.415 \\ -267.591 & 46.663 & 324.901 & -60.546 \\ -46.624 & -121.407 & -60.576 & 850.618 \end{bmatrix}$$

نتایج حاصل در این حالت نشان می دهند که ماتریس های مجھول محاسبه شده، دارای دقت مناسبی هستند. اعداد حالت

نسبتاً کوچک به دست آمده نیز مؤید این نتیجه گیری هستند.

۱۰- نتیجه گیری

اهم نتایج این تحقیق عبارتند از:

- ۱- با افزایش تعداد درجات آزادی، عدد حالت مسئله افزایش می یابد. به عبارت دیگر، میزان حساسیت پاسخ مسئله نسبت به خطاهای ایجاد شده، زیادتر می شود.
- ۲- در همه تحلیلهای انجام شده، مؤلفه ($\mathbf{m}_{n \times n}$) ماتریس جرم نسبتاً دقیق به دست می آید.
- ۳- تمامی نتایجی که برای قابهای برشی دو بعدی به دست آمده، برای قابهای برشی سه بعدی نیز صادق است.
- ۴- اثر مدهای پیچشی در تحلیل معکوس قابهای برشی - پیچشی سه بعدی، مشابه اثر افزایش درجات آزادی در قابهای برشی دو بعدی است. به عبارت دیگر، عدد حالت مسئله تعیین مشخصات دینامیکی قاب برشی - پیچشی سه بعدی یک طبقه، نزدیک به عدد حالت مسئله تعیین مشخصات دینامیکی قاب برشی دو بعدی دوطبقه است.
- ۵- در این تحقیق، کاربرد روش تمت برای تعیین ماتریس های مشخصه قابهای برشی دو بعدی و سه بعدی ارائه شده است. با توجه به آنکه با تقریب قابل قبولی می توان قابهای ساختمانی واقعی رابه صورت قابهای برشی مدل کرد، به نظر می رسد که با توسعه این روش (بند ۶) بتوان این روش را در مورد ساختمانهای واقعی به کاربرد.
- ۶- برای توسعه این روش لازم است که دقت آن در مقایسه با سایر روش های عددی (مانند روش نیومارک) برآورد گردد. همچنین بررسی تأثیرات وجود نوافه های مختلف (محیطی و دستگاهی) در نتایج حاصل، حائز اهمیت است.

۱۱- مراجع

- decomposition method. *Engineering Analysis with Boundary Elements*, 23, 339-360.
11. Nasserzare, J., Lei, Y., Eskandari-Shiri, S. (2000). Computation of natural frequencies and mode shapes of arch dams as an inverse problem. *Advances in Engineering Software*, 31, 827-836.
12. Ziae Rad, S. (1997). *Methods for updating numerical models in structural dynamics*. Ph.D. Dissertation, University of London.
13. Friswell, M. I., Inman, D. J., Pilkey, D. F. (1998). The direct updating of damping and stiffness matrices. *AIAA Journal*, 36, 491-493.
14. Shaw, J. (2001). Noniterative solution of inverse problems by the linear least square method. *Applied Mathematical Modeling*, 25, 683-696.
15. Yang, C. Y., Chen, C. K. (1996). The boundary estimation in two-dimensional inverse heat conduction problems. *Journal Phys. D: Appl. Phys.*, 29, 333-339.
16. Hasan, W. M., Viola, E. (1997). Use of the singular value decomposition method to detect ill-conditioning of structural identification problems. *Computers & structures*, 63, 267-275.
۱۷. چوپانی، کاظم. (۱۳۸۲). تعیین مشخصات دینامیکی سازه‌ها با استفاده از تکنیکهای معکوس. پایان نامه کارشناسی ارشد مهندسی زلزله، دانشگاه تربیت مدرس. ►
1. آقاکوچک، علی‌اکبر؛ معماری، علی‌محمد. (۱۳۷۲). آزمایشات لرزه‌ای بر روی ساختمانهای واقعی: تهران: مؤسسه بین‌المللی زلزله‌شناسی و مهندسی زلزله.
2. حاج‌مؤمنی، عقیل. (۱۳۷۹). ارزیابی خصوصیات دینامیکی یک سد بتونی قوسی با مقایسه نتایج مدل ریاضی و آزمایش‌های ارتعاش محیطی. پایان نامه کارشناسی ارشد مهندسی عمران، دانشکده فنی و مهندسی، دانشگاه تربیت مدرس.
3. Bui, H. D., Tanaka, M. (1994). *Inverse problems in engineering mechanics*, Balkema.
4. Press, W. H., Teukolsky, S. A., Vetterling, W. T., Flannery, B. P. (1997). *Numerical recipes in fortran 77, The art of scientific computing* (2nd edition). Cambridge University Press.
5. Schott, J. R. (1997). *Matrix analysis for statistics*. John Wiley & Sons.
6. Watkins, D. S. (1991). *Fundamental of matrix computations*. John Wiley & Sons.
7. Rong, Q., Shi, J., Ceglarek, D. (2001). Adjusted least squares approach for diagnosis of Ill-conditioned compliant assemblies. *Journal of Manufacturing Science and Engineering*, 123, 453-461.
8. Satake, N., Yokota, H. (1996). Evaluation of vibration properties of high-rise steel buildings using data of vibration tests and earthquake observation. *Journal of Wind Engineering and Industrial Aerodynamics*, 59, 265-282.
9. Sugawara, Y., Sugiyama, T., Kobayashi, T., Yamaya, H., Kitamura, E. (1997). Correlation analysis for forced vibration test of the Haulien large scale seismic test program. *Journal of Nuclear Engineering and Design*, 172, 281-288.
10. Yeih, W. Chen, J. T. Cheng, C. M. (1999). Applications of dual MRM for determining the natural frequencies and natural modes of an Euler-Bernoulli beam using the singular value